

скорости прохождения ее через рабочую зону, 2 – Разрывная нагрузка латексной нити 27 текс, 3 – Натяжение нити сердечника линейной плотности 64 текс в зависимости от скорости прохождения ее через рабочую зону, 4 – Разрывная нагрузка латексной нити 64 текс, 5 – Натяжение нити сердечника линейной плотности 92 текс в зависимости от скорости прохождения ее через рабочую зону, 6 – Разрывная нагрузка латексной нити 92 текс.

В результате работы можно сделать следующие выводы:

1. Для формирования латексной оплетенной нити возможно использовать в качестве нити сердечника нити широкого диапазона линейных плотностей.
2. Нецелесообразно использовать латексную нить 27 текс в качестве сердечника при значительных скоростях движения в зоне формирования.
3. Увеличение линейной плотности латексной нити и сердечника повышает стабильность процесса в плане обрывности.

Список использованных источников

1. Рипка, И. Формирование пряжи в прядильной камере безверетенной прядильной машины БД-200 / И. Рипка // Ковозэкспорт (ЧССР), 1969. – № 5. – С. 3–8.
2. Плеханов, Ф. М. Натяжение пряжи в камере пневмомеханической прядильной машины / Ф. М. Плеханов, А. Ф. Плеханов // Текстильная промышленность, 1993. – №6. – С. 32–33.
3. Локтионов, А. В. Технологические параметры получения нитей с использованием двух полых веретен / А. В. Локтионов, В. Г. Буткевич, Е. К. Ковалевич // Всероссийская научно-техническая конференция с международным участием «Актуальные проблемы проектирования и технологии изготовления текстильных материалов специального назначения» (Техтекстиль – 2010): сборник материалов, 21–22 января 2010 г. / ДИТУД (филиал) УлГТУ. – Дмитровград, 2010. – С. 199–200.
4. Локтионов, А. В. Технология получения меланжевых нитей / А. В. Локтионов, А. В. Буткевич, В. Г. Буткевич, А. В. Турко // Межвузовская научно-техническая конференция аспирантов и студентов «Молодые ученые – развитию текстильной и легкой промышленности (Поиск – 2012): сборник материалов, 23–25 апреля 2012 г.: в 2 ч. / ИГТА. – Иваново, 2012. – ч. 1. – С. 21–22.

УДК 531.312.1

РАСЧЕТ УРАВНЕНИЯ МАЛЫХ КОЛЕБАНИЙ МАЯТНИКА С УЧЕТОМ ЗАДАНОЙ НАЧАЛЬНОЙ УГЛОВОЙ СКОРОСТИ ЕГО ДВИЖЕНИЯ

Локтионов А.В., д.т.н., проф., Беган В.В, студ.

Витебский государственный технологический университет,

г. Витебск, Республика Беларусь

Реферат. Предложен расчет уравнения малых колебаний маятника с заданной начальной угловой скоростью движения маятника с учетом сил тяжести ползуна и шарика. Для расчета частоты колебаний использованы инерционные и квазиупругие коэффициенты дифференциальных уравнений малых колебаний системы с двумя степенями свободы. Получены уравнение свободных колебаний маятника и закон движения ползуна в зависимости от времени и заданной начальной угловой скорости вращения маятника.

Ключевые слова: расчет, дифференциальные уравнения, малые колебания, частота, уравнение движения, маятник.

Рассмотрим расчет уравнения движения малых колебаний маятника с заданной начальной угловой скоростью его движения. При этом принято, что на маятник действуют силы тяжести ползуна и шарика.

Эллиптический маятник состоит из ползуна 1 весом P_1 , помещающегося без трения по горизонтальной прямой, и шарика 2 весом P_2 , соединенного с ползуном нерастяжимым стержнем AB длины l . Стержень вращается вокруг оси A , связанной с ползуном и перпендикулярной плоскости рисунка. Определим малые колебания маятника (рисунок 1), принимаем, что в начальный момент $\varphi = \varphi_0 = 0$ а угловая скорость $\dot{\varphi} = \dot{\varphi}_0 \neq 0$.

Выберем в качестве обобщенных координат перемещение ползуна по горизонтальной плоскости ($q_1 = x$) и угол поворота стержня AB вокруг оси A ($q_2 = \varphi$).

Так как действующие на систему силы потенциальные, то уравнения Лагранжа представим в виде:

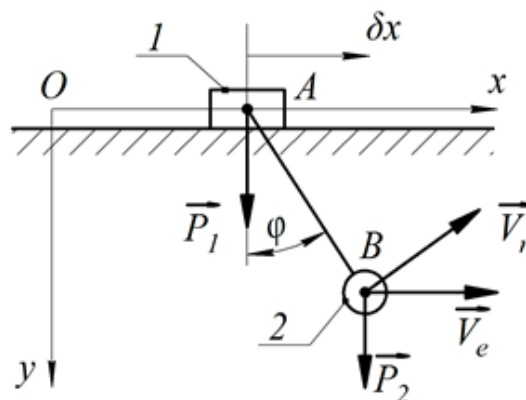


Рисунок 1- Расчетная схема движения эллиптического маятника

$$\begin{cases} \frac{d}{dt} \left(\frac{\partial T}{\partial \dot{x}} \right) - \frac{\partial T}{\partial x} + \frac{\partial \Pi}{\partial x} = 0; \\ \frac{d}{dt} \left(\frac{\partial T}{\partial \dot{\varphi}} \right) - \frac{\partial T}{\partial \varphi} + \frac{\partial \Pi}{\partial \varphi} = 0. \end{cases} \quad (1)$$

Определим кинетическую энергию системы: $T = T_1 + T_2$, где кинетическая энергия ползуна 1 в поступательном движении $T_1 = \frac{m_1 V_1^2}{2} = \frac{P_1}{2g} \dot{x}^2$ и кинетическая энергия маятника

$T_2 = \frac{m_2}{2} V_2^2$. Так как маятник совершает сложное движение, то $\vec{V}_2 = \vec{V}_e + \vec{V}_r$. Переносная скорость \vec{V}_e направлена параллельно оси x , при этом $V_e = \dot{x}$, а вектор \vec{V}_r относительной скорости перпендикулярен AB и численно $V_r = l\dot{\varphi}$.

Тогда абсолютная скорость маятника:

$$V_2^2 = V_e^2 + V_r^2 + 2V_e V_r \cos \varphi = \dot{x}^2 + l^2 \dot{\varphi}^2 + 2l\dot{\varphi}\dot{x} \cos \varphi.$$

Кинетическая энергия маятника:

$$T_2 = \frac{P_2}{2g} (\dot{x}^2 + l^2 \dot{\varphi}^2 + 2l\dot{\varphi}\dot{x} \cos \varphi).$$

Кинетическая энергия системы:

$$T = \frac{P_2}{2g} \dot{x}^2 + \frac{P_1}{2g} (\dot{x}^2 + l^2 \dot{\varphi}^2 + 2l\dot{\varphi}\dot{x} \cos \varphi) = \frac{P_1 + P_2}{2g} \dot{x}^2 + \frac{P_2}{2g} l^2 \dot{\varphi}^2 + \frac{P_2}{g} l\dot{\varphi}\dot{x} \cos \varphi. \quad (2)$$

Направляя ось OY вертикально вниз [3], потенциальную энергию системы определим по формуле:

$$\Pi = -P_2 l \cos \varphi. \quad (3)$$

Определив члены уравнений Лагранжа (1) и подставляя полученные величины в уравнения (1), получим дифференциальные уравнения движения системы:

$$\frac{d}{dt} \left(\frac{P_1 + P_2}{g} \dot{x} + \frac{P_2}{g} l \dot{\varphi} \cos \varphi \right) = 0, \quad \frac{P_2}{g} l \ddot{x} \cos \varphi + \frac{P_2}{g} l^2 \ddot{\varphi} + P_2 l \sin \varphi = 0. \quad (4)$$

Для определения малых колебаний эллиптического маятника в уравнениях (4) положим, что $\cos \varphi \approx 1$, $\sin \varphi \approx \varphi$. Тогда эти уравнения примут вид:

$$\frac{P_1 + P_2}{g} \ddot{x} + \frac{P_2}{g} l \ddot{\varphi} = 0, \quad \frac{P_2}{g} l \ddot{x} + \frac{P_2}{g} l^2 \ddot{\varphi} + P_2 l \varphi = 0. \quad (5)$$

В общем случае дифференциальные уравнения малых колебаний системы с двумя степенями свободы имеют вид:

$$a_{11} \ddot{q}_1 + a_{12} \ddot{q}_2 + c_{11} q_1 + c_{12} q_2 = 0, \quad a_{21} \ddot{q}_1 + a_{22} \ddot{q}_2 + c_{21} q_1 + c_{22} q_2 = 0, \quad (6)$$

где инерционные коэффициенты a_{11} , a_{12} , a_{21} , a_{22} и квазиупругие коэффициенты c_{11} , c_{12} , c_{21} , c_{22} являются постоянными величинами.

Уравнение частот имеет вид:

$$\left(c_{11} - a_{11} k^2 \right) \left(c_{22} - a_{22} k^2 \right) - \left(c_{12} - a_{12} k^2 \right)^2 = 0. \quad (7)$$

Из уравнений (5) определяются коэффициенты входящие в равенства (6) и (7) которые имеют вид:

$$a_{11} = \frac{P_1 + P_2}{g}; \quad a_{12} = a_{21} = \frac{P_2}{g} l; \quad a_{22} = \frac{P_2}{g} l^2; \quad c_{11} = 0; \quad c_{12} = c_{21} = 0; \quad c_{22} = P_2 l.$$

Подставляя инерционные и квазиупругие коэффициенты в уравнение (7), определим величину k^2 из выражения:

$$-\frac{P_1 + P_2}{g} k^2 \left(P_2 l - \frac{P_2 l^2}{g} k^2 \right) - \left(\frac{P_2 l}{g} \right)^2 k^4 = 0,$$

откуда из уравнения частот получим:

$$k^2 = \frac{(P_1 + P_2)g}{P_1 l}. \quad (8)$$

Для определения частоты k^2 из дифференциальных уравнений движения системы (4) представим систему уравнений (5) в виде:

$$\ddot{x} = -\frac{P_2 l}{P_1 + P_2} \ddot{\varphi}, \quad (9)$$

$$\ddot{x} + l \ddot{\varphi} + g \varphi = 0. \quad (10)$$

Подставляя значение \ddot{x} в уравнение (10), получим:

$$\frac{P_1 l}{P_1 + P_2} \ddot{\varphi} + g \varphi = 0,$$

или

$$\ddot{\varphi} + k^2 \varphi = 0, \quad (11)$$

где

$$k^2 = \frac{(P_1 + P_2)g}{P_1 l}. \quad (12)$$

Значение k^2 соответствует значению (8), полученному с помощью уравнения частот. Общее решение дифференциального уравнения (11) имеет вид:

$$\varphi = C_1 \cos kt + C_2 \sin kt. \quad (13)$$

Уравнение, определяющее угловую скорость, имеет вид:

$$\dot{\varphi} = -C_1 k \sin kt + C_2 k \cos kt. \quad (14)$$

Подставляя начальные условия, при $t_0 = 0$, $\varphi_0 = 0$, $\dot{\varphi}_0 = \omega_0$, в уравнения (13) и (14), получим значения коэффициентов C_1 и C_2 :

$$C_1 = 0, \quad C_2 = \frac{\omega_0}{k} = \omega_0 \sqrt{\frac{P_1 l}{(P_1 + P_2) g}}.$$

С учетом C_1 и C_2 , уравнение малых колебаний маятника будет иметь вид:

$$\varphi = \frac{\omega_0}{k} \sin kt, \quad (15)$$

или, учитывая формулу (12), равенство (15) можно представить в виде:

$$\varphi = \omega_0 \sqrt{\frac{P_1 l}{(P_1 + P_2) g}} \sin \sqrt{\frac{(P_1 + P_2) g}{P_1 l}} t. \quad (16)$$

Выводы. Предложен расчет уравнения малых колебаний с учетом сил тяжести и заданной начальной угловой скорости движения маятника. Для расчета частоты колебаний использованы инерционные и квазиупругие коэффициенты дифференциальных уравнений малых колебаний системы с двумя степенями свободы. Получено уравнение свободных колебаний маятника.

УДК 622.002.5:517:531.112

РАСЧЕТ КИНЕМАТИЧЕСКИХ ПАРАМЕТРОВ РЕЖУЩЕГО ИНСТРУМЕНТА ИСПОЛНИТЕЛЬНОГО МЕХАНИЗМА

Локтионов А.В., д.т.н., проф., Рубик С.В., студ.

Витебский государственный технологический университет,

г. Витебск, Республика Беларусь

Реферат. Предложен аналитический метод расчета задних углов реза в движении. Получены соотношения между его значениями в различных плоскостях с учетом угла установки реза на режущей головке исполнительного механизма. Установлено, что кинематические углы представляют те же углы движения, рассчитанные для боковой и задней грани реза.

Ключевые слова: кинематика, режущий инструмент, исполнительный механизм, циклоида, угол движения, подача, поперечная, продольная.

Расчет задних углов в процессе резания, выражающих реальную величину зазора между задней поверхностью инструмента и поверхностью резания, непосредственно связан с изучением перемещения инструмента и обрабатываемого объекта, основанном на понятиях о простом и составном движениях. Задний угол движения α_d измеряется между вектором относительной скорости резания и касательной к траектории сложного пространственного движения инструмента в заданной точке [1].

Определим α_d реза исполнительного механизма [1], участвующего в двух поступательных переносных движениях. Для упрощения расчета движение подачи разложим на две составляющие – продольное (вдоль оси исполнительного механизма) и поперечное. При поперечной подаче механизма происходит основное разрушение массива. Резец движется по траектории, представляющей собой удлиненную сферическую циклоиду. Однако с целью упрощения расчетов здесь рассматривается ее проекция на плоскость XOY (рис. 1).